
СИСТЕМНОЕ ИЗУЧЕНИЕ АРИДНЫХ ТЕРРИТОРИЙ

УДК 551.573:551.579.5(470)

СОВРЕМЕННЫЕ КЛИМАТИЧЕСКИЕ ТЕНДЕНЦИИ ИЗМЕНЕНИЙ ИСПАРЕНИЯ И ВЛАЖНОСТИ ПОЧВЫ НА ЮГЕ ЕВРОПЕЙСКОЙ РОССИИ

© 2023 г. Т.Б. Титкова*, А.Н. Золотокрылин*, Е.А. Черенкова*,**

*Институт географии РАН

Россия, 119017, г. Москва, Старомонетный пер., д. 29, стр. 4

E-mail: titkova@igras.ru, zolotokrylin@igras.ru

**Институт физики атмосферы им. А.М. Обухова РАН

Россия, 119017, г. Москва, Пыжевский пер., д. 3. E-mail: cherenkova@igras.ru

Поступила в редакцию 10.02.2023. После доработки 03.03.2023. Принята к публикации 03.04.2023.

Исследовано влияние климатических параметров на испарение в период активной вегетации растений в лесостепной, степной и полупустынной зонах в период 1980-2021 гг. на юге Европейской территории России. Рассмотрены основные закономерности связи испарения и влажности почвы. В начале вегетационного сезона изменение испарения в лесной и степной зонах во многом определяется положительной связью с температурой и ветровыми условиями. В середине сезона вегетации возрастает роль осадков и ветровых условий. С июля связь испарения и температуры становится отрицательной из-за нарастающего дефицита влаги в зонах сухого субгумидного и semiаридного климата. Связь испарения и влажности верхнего слоя почвы отрицательна в начале вегетационного периода при минимальном испарении с еще не разогретого почвенного покрова в зонах лесостепи и степи, а в полупустыне на фоне уже прогретой почвы положительна. С середины вегетационного сезона и до конца связь испарения и влажности почвы значимо положительна от лесостепных до полупустынных ландшафтов. В начале вегетационного сезона продолжающееся потепление приводит к увеличению испарения, в середине и в конце вегетационного сезона тренды испарения значимо отрицательные, так как недостаток влаги при больших температурах приводит к иссушению почвенного покрова и преждевременному увяданию растительности. Наибольшее падение испарения отмечается в степных и сухостепных ландшафтах, на что повлияло иссушение территории при росте температуры, уменьшение сумм осадков и средней скорости ветра. Тренды влажности верхнего слоя почвы в основном отрицательны на всем юге Европейской территории России с максимумом потери влаги в широколиственно-лесной и лесостепной зонах, как более увлажненных относительно сухостепных и полупустынных природных зон. В полупустынной зоне за весь вегетационный сезон изменения влажности почвы минимальны.

Ключевые слова: испарение, температура, осадки, ветер, влажность почвы, природные зоны, вегетационный сезон.

DOI: 10.24412/1993-3916-2023-3-4-14

EDN: ZUWGEV

В концепции нейтрального баланса деградации земель по борьбе с опустыниванием Конвенцией ООН определены основных фактора, влияющих на опустынивание: изменения наземного покрова, динамика продуктивности земель и динамика запасов почвенного углерода (Cowie et al., 2018). Аридизация климата приводит к усилению деградации земель через сокращение продуктивных водных ресурсов, снижение почвенного потенциала, продуктивности растительных сообществ и биологического разнообразия (Куст, 2020; Лобковский и др., 2022). При этом климатические изменения природно-ландшафтного потенциала могут привнести как положительное, так и негативное воздействие на состояние устойчивого землепользования сельскохозяйственных земель (Андреева и др., 2021). Знания о круговороте энергии и влаги в системе растительность-почва-атмосфера крайне важны для изучения природной составляющей процессов, влияющих на деградацию земель. На фоне повышения среднегодовой температуры воздуха и общей аридизации климата деградация почвенного покрова резко увеличила риск почвенной (агрономической) засухи,

что в значительной мере влияет на биологическое разнообразие и приводит в большинстве случаев к снижению урожайности сельскохозяйственных культур, а также к нарушению устойчивого землепользования (Национальный доклад, 2019, 2021; Андреева, Куст, 2020).

Последние исследования изменения регионального климата летом на юге Европейской территории России (ЕТР) показывают, что период 1976-2020 гг. характеризуется статистически значимым потеплением с наибольшей скоростью до $0.74^{\circ}\text{C}/10$ лет в Южном федеральном округе (Доклад ..., 2021). Наибольший рост температуры на юге ЕТР наблюдается в августе. Средняя за теплый период температура поверхности почвы увеличилась на $1.1\text{--}1.5^{\circ}\text{C}$. Также риски сильных атмосферных засух в течение всего вегетационного периода увеличились на всей территории, наиболее заметно – в полупустынной зоне (с 55% до 82%; Губарев и др., 2022). В целом по России наблюдается рост осадков за последние сорок с половиной лет (Доклад ..., 2021). При этом количество осадков на юге ЕТР увеличилось в весенний период на 10-25%, а в летний период сократилось на 23-30% (Губарев и др., 2022). Установлено, что рост испарения с поверхности суши в бассейне Волги с середины 1960-х до конца 1980-х годов в среднем на 2-4% в год обусловлен ростом температуры и осадков (Лавров, 2019). В качестве возможных причин обозначенных изменений указывается перестройка атмосферной циркуляции в Атлантико-Европейском секторе под действием долгопериодных изменений температуры поверхностного слоя Северной Атлантики (Черенкова, 2017). Увеличение увлажнения нашло отражение в росте климатообусловленной урожайности (Павлова, Сиротенко, 2012) и восстановлении естественной степной растительности (Новикова и др., 2011; Сажин и др., 2006). Однако в южной половине ЕТР в летний период на фоне быстрого роста средних температур вследствие роста испаряемости уменьшается влажность почвы, что приводит к увеличению риска засухи и иссушения территории и нарастания аридности климата (Доклад ..., 2021).

Повышение глобальной температуры обуславливает кумулятивный отклик растительности, выраженный в изменении состава и структуры растительного компонента ландшафтов (Singh et al., 2003; Золотокрылин, Титкова, 2009). При этом подстилающий покров медленнее реагирует на изменение температуры и условий увлажнения при относительно густой растительности и быстрее при разреженной, что связано с уровнем теплообмена в толще растительного покрова (Wu et al., 2016). Потепление климата может значительно повлиять на водный баланс за счет изменения испарения с поверхности почвы с учетом транспирации растениями и увеличения дефицита почвенной влаги (Wang et al., 2018). На изменение влажности поверхностных слоев почвы наибольшее влияние оказывает рост средней температуры (Титкова, Золотокрылин, 2022). Испарение влаги с поверхности растительности и из почвы определяет водопотребление растительности, динамику накопления биомассы растений и является важнейшей характеристикой роста и развития растений (Полуэктов и др., 2006; Титкова, Золотокрылин, 2022). Поэтому анализ пространственного распределения трендов испарения и влажности почвы является важным для прогнозирования устойчивого землепользования на юге ЕТР – в европейском зерновом поясе России.

Целью данной работы является исследование тенденций изменений испарения на юге Европейской территории России преимущественно в лесостепной, степной и полупустынной зонах в период активной вегетации растений. В работе предпринята попытка исследовать влияние изменений климатических параметров на испарение в различные месяцы теплого периода, а также рассмотреть основные закономерности связи испарения и влажности почвы в природных зонах юга ЕТР.

Материалы и методы

Территория исследования – сельскохозяйственные районы ЕТР южнее 54° с.ш. , в зонах субгумидного, сухого субгумидного и с semiаридного климата. Здесь расположено 18 зернопроизводящих субъектов РФ.

Получение достоверных количественных оценок испарения как на суше, так и с водной поверхности является сложной и трудоемкой задачей (Allen et al., 1998; Amatya et al., 2016; Wohlfahrt et al., 2010). В данном исследовании для оценки испарения с поверхности суши были использованы среднемесячные данные наиболее современного реанализа ERA5-Land с апреля по сентябрь в период 1980-2021 гг. (Copernicus, 2022) – это глобальный архив данных реанализа с горизонтальным разрешением $0.1^{\circ} \times 0.1^{\circ}$, доступный за период с 1950 года по настоящее время.

В реанализе ERA5-Land под испарением подразумевается накопленное количество воды, испарившейся с поверхности Земли, включая транспирацию от растительности. Величина испарения, его динамика во времени находятся в сложной взаимосвязи с температурой, влажностью воздуха, осадками, скоростью ветра и потоков солнечной радиации, которые определяют физические свойства почвенного и растительного покрова (Братсерт, 1985; Лавров, 2019). В данной работе были рассмотрены некоторые из перечисленных климатических параметров, связанные с испарением: температура воздуха, осадки и скорость ветра. Их среднемесячные данные в теплый период года с апреля по сентябрь получены из архива реанализа ERA5-Land. Температура на высоте 2 м н.у.м. БС (T) рассчитывается путем интерполяции между самым низким уровнем модели и поверхностью Земли с учетом атмосферных условий. Под суммой осадков (Pr) в реанализе подразумевается сумма крупномасштабных и конвективных осадков. Также анализировалась векторная сумма зональной и меридиональной компоненты скорости ветра на высоте 10 м н.у.м. БС.

Выявленные искажения влажности почвы по данным реанализа ERA5-Land для региона Поволжья обусловили поиск других архивов данного параметра. К исследованию были привлечены среднемесячные данные об объемной влажности почвы (Soil Moisture, SM) с апреля по сентябрь в период 1980-2021 гг., полученные из глобального архива SM GLEAM версии 3.6a (Gleam, 2022; Martens et al., 2017) с пространственным разрешением $0.25^\circ \times 0.25^\circ$ (Gruber et al., 2019). Данные SM GLEAM воспроизводят общие сезонные закономерности поля влажности почвы, что подтверждает обнаруженная связь ведущих режимов ее изменчивости летом на ЕТР с основными режимами атмосферной циркуляции (Zveryaev, Arkhipkin, 2019). Мы ограничились рассмотрением данных влажности почвы в слое 0-10 см, поскольку поверхностный слой непосредственно взаимодействует с атмосферой и, следовательно, имеет больший отклик на изменения регионального климата.

Были рассчитаны десятилетние линейные тренды и рассмотрена межгодовая динамика климатических параметров с апреля по сентябрь в период 1980-2021 гг. Выполнен корреляционный анализ связи испарения с каждым из климатических параметров в течение вегетационного сезона. Исследованы корреляционные связи испарения и влагосодержания верхнего слоя почвы по ландшафтным зонам.

Результаты и их обсуждение

Зависимость испарения от климатических параметров. На рисунке 1 приведены коэффициенты корреляции испарения с каждым из климатических параметров. В зависимости от месяца вегетационного периода степень влияния климатического параметра на испарение меняется. Значения коэффициентов корреляции между испарением и климатическими параметрами ограничены среднемесячными значениями, которые могут ослаблять кратковременные связи, возникающие в течение времени между параметрами, что отмечается и в других исследованиях (Лавров, 2019).

В начале вегетационного сезона, в апреле и мае, изменения испарения во многом определяются положительной связью с температурой (корреляция – 0.92, 0.94). Связь с осадками и ветром минимальна, так как влажность почвы в этот вегетационный период наибольшая (рис. 2а). В середине вегетационного сезона в июне и июле возрастает роль осадков (корреляция – 0.62, 0.69) и ветровых условий. Увеличение скорости ветра приводит к увеличению испарения и высушивает почву. Начиная с июня связь испарения и температуры становится отрицательной (корреляция – -0.21), особенно к концу вегетационного сезона из-за нарастающего дефицита влаги в зонах сухого субгумидного и с semiаридного климата (корреляция – -0.9). В августе влияние на испарение имеет сочетание всех рассматриваемых параметров. Усиление ветра приводит к еще более сильному иссушению почвы, что отрицательно сказывается на испарении (корреляция – -0.61). В сентябре испарение положительно зависит главным образом от осадков (корреляция – 0.88) и отрицательно от температуры (корреляция – -0.89).

Таким образом, в определенный период вегетационного сезона превалирующее влияние одного климатического параметра на испарение может усиливаться или ослабляться под влиянием другого параметра.

Динамика испарения и ее связь с климатическими параметрами. Анализ 10-летних скользящих средних испарения на территории активного земледелия на юге ЕТР показал, что в разные месяцы вегетационного сезона 42-летнего периода наблюдалась как положительная, так и отрицательная

динамика испарения и влажности почвы (рис. 1). В апреле отмечается постепенное увеличение испарения, что связано с поступательным положительным трендом температуры. Значительный рост испарения в 1980-1990-х годах связан с интенсивным увеличением количества осадков в этот период, а скачок суммарного испарения после 2010 года обусловлен усилением средней скорости ветра (рис. 1а I-III). В мае на фоне общего положительного тренда испарения его наибольший положительный рост в 1980-х годах сопровождался ростом осадков.

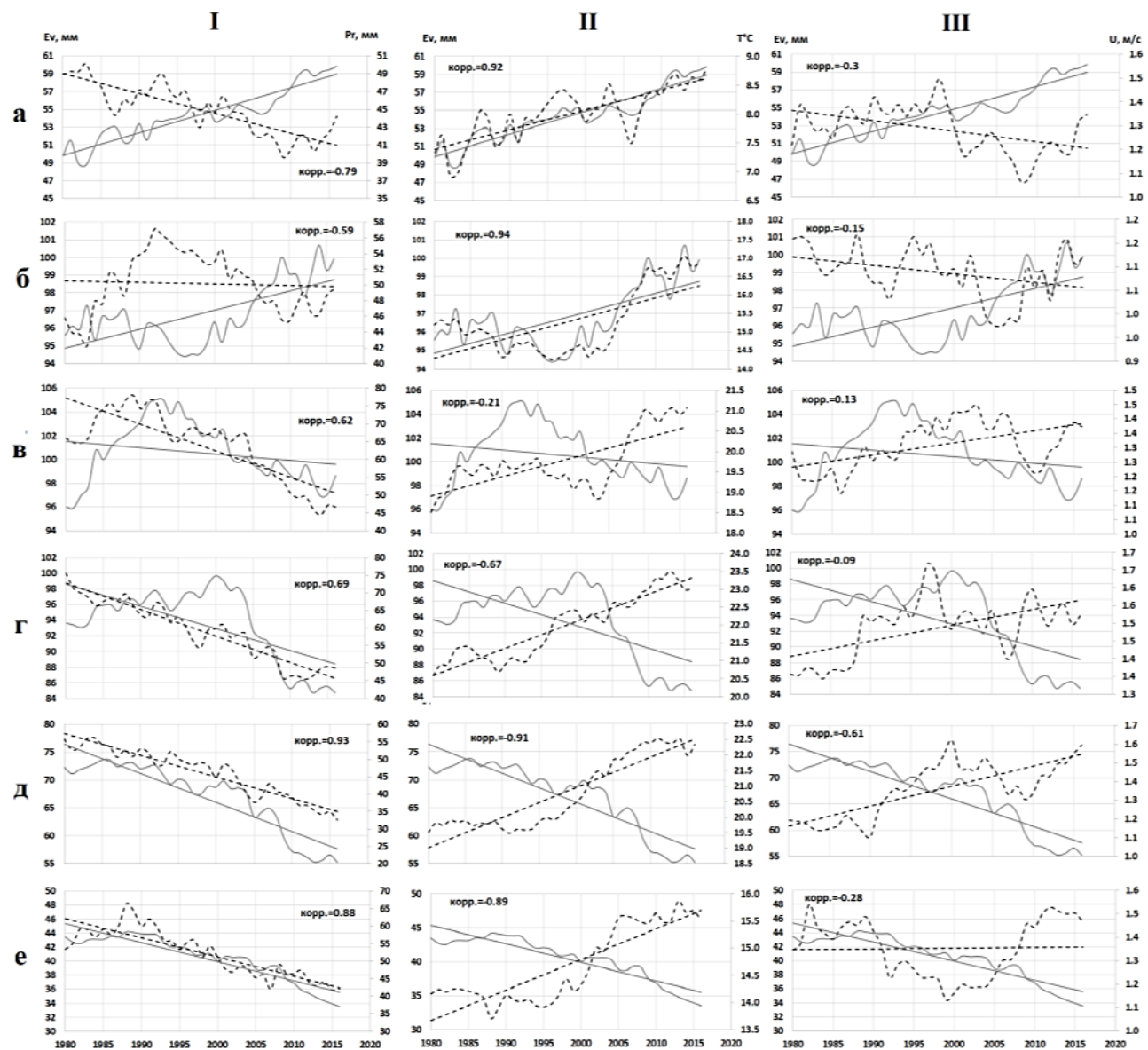


Рис. 1. Изменения 10-летних скользящих средних значений: испарения Ev (сплошные серые линии на рисунках а-е), осадков Pr (I), температуры T (II) и скорости ветра U (III) в среднем на территории исследования в период 1980-2021 гг. в (а) апреле, (б) мае, (в) июне, (г) июле, (д) августе, (е) сентябре (пунктирные линии на графиках).

С начала XXI века по настоящее время положительные тренды температуры имеют наибольшее влияние на рост испарения (рис. 1б I-III). Июнь характеризуется интенсивным ростом испарения в 1980-х годах с абсолютным максимумом в 1991 году, когда рост осадков совпал с наблюдаемой интенсификацией потепления. В XXI веке на фоне роста средней температуры общая динамика испарения отрицательна, к чему привело уменьшение количества осадков и средней скорости ветра (рис. 1в I-III). В июле положительная динамика испарения, наблюдавшаяся в конце XX века, во многом

связана с ростом осадков. На фоне роста темпов потепления на юге ЕТР с начала XXI века по настоящее время во все месяцы теплого периода под влиянием сокращения количества осадков отмечается уменьшение испарения (рис. 1г I-III). В конце вегетационного периода в августе и сентябре рост испарения до начала 1990-х годов сопровождался увеличением осадков. Затем на фоне роста температуры тренд суммарного испарения стал отрицателен из-за иссушения почвенного покрова и увядания растительности (рис. 1д, е I-III).

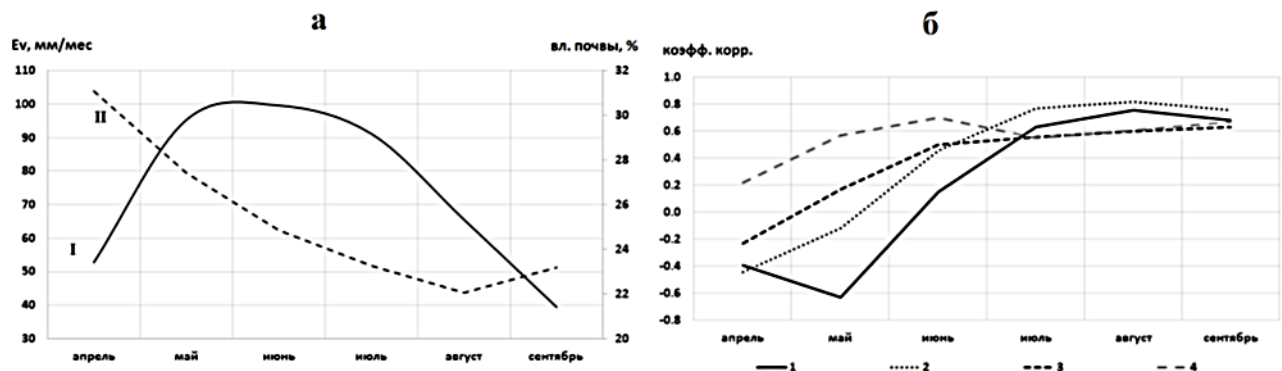


Рис. 2. Изменения параметров испарения и влажности почвы с апреля по сентябрь в период 1980-2021 гг.: а) среднемесячные значения испарения E_v (I) в мм/мес и влажности почвы в поверхностном слое (II) в % в среднем на исследуемой территории; б) коэффициенты корреляции между ними в среднем по ландшафтным зонам на юге ЕТР. Условные обозначения: 1 – лесостепь, 2 – степь, 3 – сухая степь, 4 – полупустыня.

Таким образом, направленность изменений испарения внутри периода исследования была связана с тенденциями климатических изменений. В апреле и мае в период 1980-2021 гг. продолжался рост испарения на фоне положительной связи с ростом температуры. Положительный тренд испарения в июне-сентябре замедлился в конце ХХ века и изменил свою направленность с начала XXI века под влиянием уменьшения сумм осадков и скоростей ветра, иссушения почвенного покрова и увядания растительности.

Испарение и влажность почвы в течение вегетационного сезона. Рассмотрим характерные черты изменения связей испарения и влажности почвы в природных зонах юга ЕТР в течение вегетационного сезона. Почвенная влага удерживается в почве благодаря противодействию силы тяжести с одной стороны и испарения и транспирации – с другой. Испарение и глубокое просачивание за пределы корневой глубины истощают запасы влаги в почве (Роде, 1965). Поэтому испарение является одним из основных климатических параметров, тесно связанных с почвенной влагой.

Согласно данным реанализа, суммарное испарение на юге ЕТР за вегетационный период (апрель-сентябрь) в период 1980-2021 гг. составляло: 460-510 мм в лесостепи, 420-500 мм в степной зоне, 380-470 мм в сухой степи и 290-360 мм в полупустыне. Эти значения во всех зонах несколько выше (на 50-80 мм) полученных при наблюдении над сушей в 1960-1980 гг. (Голубев и др., 2003).

На рисунке 2а представлен ход испарения и влагосодержание верхнего слоя почвы в течение вегетационного сезона в среднем на всей территории исследования. Значения испарения в апреле в среднем не превышают 55 мм/месяц, а влагосодержание почвы максимально за сезон вегетации и составляет чуть более 30%. Наибольшие значения испарения наблюдаются в мае-июне в среднем 95-100 мм/месяц при влажности почвы 25-27%. С середины лета до начала осени испарение достаточно быстро уменьшается (рис. 1а), в то время как влажность верхнего слоя почвы сокращается в течение всего периода активной вегетации в 2.3 раза. К концу вегетационного периода испарение уменьшается в среднем до 40-50 мм/месяц, а влагосодержание почвы – до 22-23%. Снижение влажности почвы в конце лета становится основной причиной падения испарения при повышении температуры воздуха (рис. 1д, е II). Принимая во внимание то, что атмосферные засухи способствуют прогрессирующему иссушению почвы, сделанный вывод подкрепляется выявленным значимым ростом повторяемости сильных летних атмосферных засух (Черенкова и др., 2020) на всей

исследуемой территории в последние три десятилетия по сравнению с предыдущим тридцатилетием. Ощутимое понижение испарения со скоростью более 9 мм/10 лет (рис. 2г, д) во второй половине лета отмечалось как в регионах наибольшего роста повторяемости засух в 1.7 раза в Поволжье, Заволжье и Северо-Западном Прикаспии (рис. 2в; Черенкова и др., 2020), так и в регионах менее существенного увеличения повторяемости засух на юге степной зоны.

Корреляционная связь испарения и влажности верхнего слоя почвы. Корреляционная связь суммарного испарения и влажности верхнего слоя почвы значительно меняется в течение теплого периода (рис. 2б). В начале вегетационного периода (апрель) в зонах лесостепи и степи зависимость параметров отрицательна, так как максимальное влагосодержание почвенного покрова сопровождается еще неразвившейся растительностью и минимальным испарением недостаточно разогретого почвенного покрова. С мая связь суммарного испарения и влажности почвы возрастает на фоне развития растительности и прогрева поверхности. Для сухостепных и полупустынных ландшафтов в мае она уже положительна и статистически значима для полупустынной зоны. В июне зависимость изменений испарения от влажности почвы становится значимо положительной в степной зоне. С июля и до конца вегетационного сезона корреляция перечисленных параметров значимо положительна на всем юге ЕТР.

Долгосрочные тренды испарения и влажности почвы. Установлено, что тренды испарения в течение вегетационного сезона за 42-летний период исследования были разнонаправленными (рис. 3; табл.). Тренды влажности верхнего слоя почвы в основном были отрицательными с наибольшими потерями влаги в более влажных широколиственно-лесной и лесостепной зонах по сравнению с остальными рассмотренными ландшафтными зонами. В полупустынной зоне в течение всего теплого периода изменения влажности почвы были минимальными (-0.5-0.5%) и статистически незначимыми (рис. 4).

В апреле наблюдался значимый рост испарения до 4-6 мм/10 лет (табл.) с максимумом в подтаежных, широколиственно-лесных, лесостепных и северных степных ландшафтных зонах (рис. 3а). Вместе с тем рост испарения в Брянской, Курской, Орловской, Липецкой, Воронежской, Тамбовской, Пензенской, Ульяновской, Самарской и Оренбургской областях в апреле (рис. 3а) сопровождался отрицательными трендами влажности почвы в среднем на 2.5-3%/10 лет (рис. 4а; табл.). В степных и полупустынных ландшафтах (Ростовская, Волгоградская, Астраханская областях, Калмыкия и части Краснодарского и Ставропольского края) рост испарения (до 2 мм/10 лет) и падение влажности почвы (от -0.5 до -2%/10 лет) в апреле были наименьшими (рис. 3а, 4а; табл.). В мае тренды испарения становятся отрицательными на всей территории полупустынных и сухостепных ландшафтов (до -2 мм/10 лет) при падении влажности почвы на -1%/10 лет (рис. 3б, 4б). В июне отрицательные тенденции изменения испарения отмечались уже в полупустынной, сухостепной и степной зонах при слабых отрицательных трендах влажности почвы. В широколиственно-лесной и лесостепной зонах еще сохранялась положительная тенденция испарения при значительном падении влагосодержания верхнего слоя почвы (рис. 3в, 4в). В июле отрицательные тренды испарения усилились и распространились на большую часть территории, за исключением зоны широколиственных лесов (Курская и Орловская области), где наблюдались значительные отрицательные тренды влажности почвы (рис. 3г, 4г). В августе тренды испарения были отрицательными на всей исследуемой территории с минимумом до -13 мм/10 лет в степной зоне (в Оренбургской, Саратовской, Ростовской областях, Ставропольском и Краснодарском крае; рис. 3д) и сопровождались падением влажности почвы на 4%/10 лет (рис. 4д; табл.). В конце вегетационного сезона в сентябре отрицательные тренды испарения и влажности почвы наблюдались во всех рассматриваемых зонах (рис. 3е, 4е).

Таким образом, в период 1980-2021 гг. наблюдались положительные тенденции испарения на большей части территории в начале вегетационного периода и постепенное его уменьшение до наибольших темпов сокращения в августе. Наибольшее падение испарения отмечалось в степных и сухостепных ландшафтах. Тренды влажности верхнего слоя почвы отрицательны с максимумом потери почвенной влаги в широколиственно-лесной и лесостепной зонах. В полупустыне изменения влажности почвы были минимальными.

С точки зрения достижения нейтрального баланса деградации земель, обнаруженные тенденции снижения испарения и влажности почвы в сезон вегетации для большинства степных и

полупустынных регионов свидетельствуют об ухудшении ситуации в 2001-2021 гг. Полученные результаты подкрепляются выводами о сохранении устойчивой отрицательной тенденции увлажнения в ближайшей перспективе согласно модельным оценкам будущего климата (Золотокрылин и др., 2014). Следует также принимать во внимание, что проводимые мероприятия, направленные на снижение рисков деградации земель в регионах с аридным климатом, не всегда приводят к ожидаемым результатам (Куст и др., 2022).

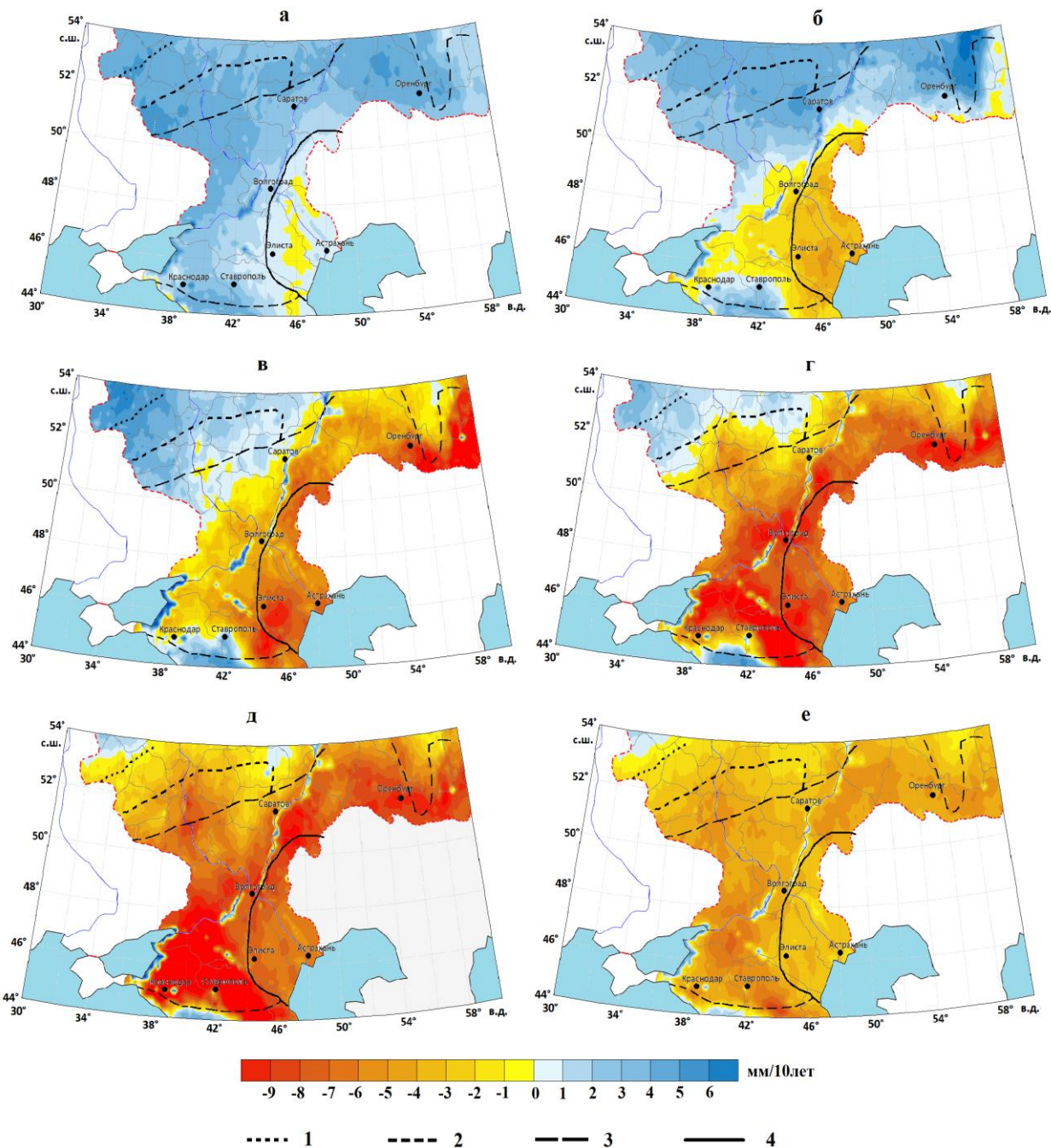


Рис. 3. Линейные тренды испарения (мм/10 лет) в период 1980-2021 гг.: а) апрель, б) май, в) июнь, г) июль, д) август, е) сентябрь. Тренды значимы при значениях $>(<) 2$ мм/10 лет. Условные обозначения для рисунков 3-4: 1 – граница подтаежных и широколиственно-лесных, 2 – широколиственно-лесных и лесостепных, 3 – лесостепных и степных типичных, 4 – степных типичных, сухостепных и полупустынных, пустынных (Исаченко, 2001).

Таблица. Тренды относительных изменений испарения и влажности почвы в поверхностном слое почвы (%/10 лет) в апреле-сентябре в период 1980-2021 гг. на юге ЕТР по природным зонам.

Природная зона	Испарение						Влажность почвы					
	апрель	май	июнь	июль	август	сентябрь	апрель	май	июнь	июль	август	сентябрь
Лесостепная	5.8	3.2	1.0	-1.6	-5.1	-7.1	-3.1	-3.7	-4.4	-5.7	-6.7	-6.6
Степная типичная	4.1	0.6	-2.1	-6.8	-5.1	-9.8	-2.4	-2.2	-2.9	-3.5	-5.4	-4.7
Сухостепная	2.2	-0.8	-4.2	-9.6	-13.7	-9.9	-3.4	-3.2	-2.5	-1.6	-4.6	-3.4
Полупустынная	0.2	-2.2	-4.2	-6.6	-11.8	-9.4	-1.8	-1.6	-1.6	-0.4	-2.3	-1.0

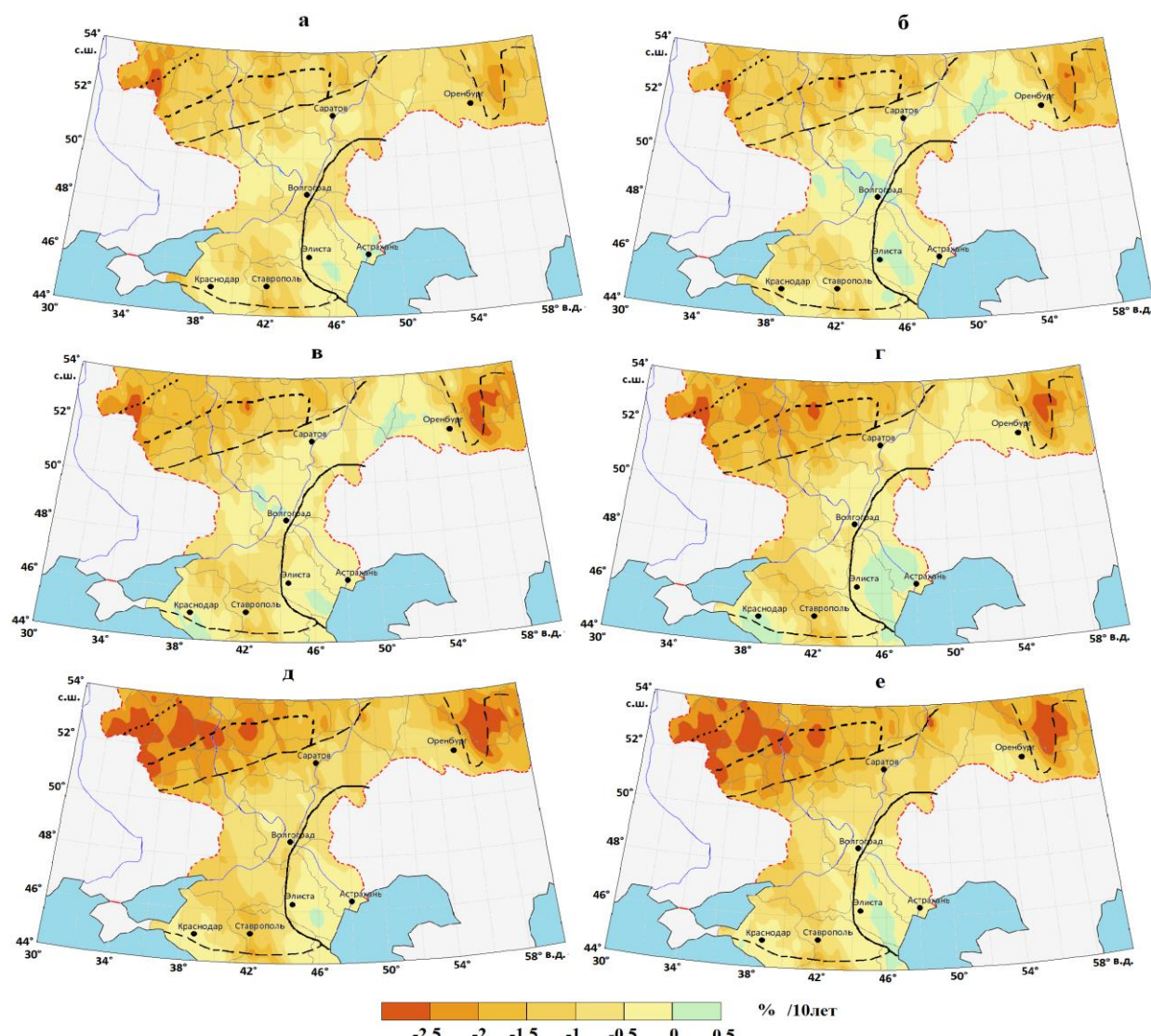


Рис. 4. Линейные тренды влажности почвы (%/10 лет) в поверхностном слое в период 1980-2021 гг.: а) апрель, б) май, в) июнь, г) июль, д) август, е) сентябрь. Тренды значимы при значениях $> (<) 0.5\% / 10$ лет.

Выводы

Оценка характера связи испарения с климатическими параметрами в период 1980-2021 гг. показала, что в начале вегетационного сезона изменение испарения в лесной и степной зонах во

многом определяется положительной связью с температурой и ветровыми условиями. В середине сезона вегетации возрастает роль осадков и ветра. Начиная с июля связь испарения и температуры становится отрицательной из-за нарастающего дефицита влаги в зонах сухого субгумидного и семиаридного климата.

Исследование динамики связи испарения и влажности верхнего слоя почвы в течение вегетационного сезона показало, что эта связь отрицательна в начале вегетационного периода при минимальном испарении с еще не разогретого почвенного покрова в зонах лесостепи и степи и положительна в полупустыне на фоне уже прогретой почвы. Со второй половины и до конца вегетационного сезона связь испарения и влажности почвы значимо положительна во всех природных зонах юга ЕТР.

Установлено, что в течение теплого периода тренды испарения разнонаправленны. В начале вегетационного периода наблюдалось увеличение испарения, что во многом объясняется продолжающимся потеплением. В середине и в конце вегетационного сезона на фоне продолжающегося потепления тренды испарения значимо отрицательные, так как недостаток влаги при больших температурах приводит к иссушению почвенного покрова и преждевременному увяданию растительности. Наибольшее падение испарения отмечается в степных и сухостепенных ландшафтах, на что повлияло иссушение территории при росте температуры, уменьшение сумм осадков и скорости ветра.

Тренды влажности верхнего слоя почвы в основном отрицательны на всей исследуемой территории с максимумом потери влаги в широколиственно-лесной и лесостепной зонах, как более увлажненных относительно сухостепенных и полупустынных ландшафтов. В полупустынной зоне за весь теплый период изменения влажности почвы минимальны.

Полученные результаты свидетельствуют о том, что на фоне отрицательных трендов испарения и влажности почвы в летний период для большинства регионов Прикаспия свойственно ухудшение текущей ситуации в последнее двадцатилетие по показателям нейтрального баланса деградации земель.

Финансирование. Исследование влияния климатических параметров на испарение проведено в рамках научной темы № 0127-2019-0010 (AAAA-A19-119102890091-1) «Разработка научных основ устойчивого управления природно-антропогенными системами на основе моделей сбалансированного землепользования»; анализ тенденций аномальных режимов почвенного увлажнения выполнен при финансовой поддержке Российского научного фонда, проект № 19-17-00242.

СПИСОК ЛИТЕРАТУРЫ

- Андреева О.В., Куст Г.С. 2020. Оценка состояния земель в России на основе концепции нейтрального баланса их деградации // Известия Российской академии наук. Серия географическая. № 5. С. 737-749.
- Андреева О.В., Лобковский В.А., Куст Г.С., Зонн И.С. 2021. Современное состояние концепции и разработка типологии моделей устойчивого землепользования // Аридные экосистемы. Т. 27. № 1 (86). С. 3-14.
[Andreeva O.V., Lobkovsky V.A., Kust G.S., Zonn I.S. 2021. The Concept of Sustainable Land Management: Modern State, Models and Typology Development // Arid Ecosystems. Vol. 11. No. 1. P. 1-10.]
- Братсерт У.Х. 1985. Испарение в атмосферу. Л.: Гидрометеоиздат. 352 с.
- Голубев В.С., Сперанская Н.А., Цыщенко К.В. 2003. Суммарное испарение в бассейне Волги и его изменчивость // Метеорология и гидрология. № 7. С. 89-99.
- Губарев Д.И., Левицкая Н.Г., Деревягин С.С. 2022. Влияние изменений климата на деградацию почв в аридных зонах Поволжья // Аридные экосистемы. Т. 28. № 1 (90). С. 20-27. [Gubarev D.I., Levitskaya N.G., Derevyagin S.S. 2022. Influence of Climate Change on Soil Degradation in Arid Zones of the Volga Region // Arid Ecosystems. Vol. 12. No. 1. P. 15-21.]
- Доклад об особенностях климата на территории Российской Федерации за 2020 год. 2021. М.: Росгидромет. 104 с.
- Золотокрылин А.Н., Титкова Т.Б. 2009. Климатический фактор динамики растительности засушливых земель европейской территории России // Проблемы экологического мониторинга и моделирования экосистем. Т. 22. С. 79-91.
- Золотокрылин А.Н., Титкова Т.Б., Черенкова Е.А. 2014. Увлажнение засушливых земель европейской территории России: настоящее и будущее // Аридные экосистемы. Т. 20. № 2 (59). С. 5-11.
[Zolotokrylin A.N., Titkova T.B., Cherenkova E.A. 2014. Humidification of drylands in European Russia: АРИДНЫЕ ЭКОСИСТЕМЫ, 2023, том 29, № 3 (96)

- The present and future // Arid Ecosystems. Vol. 4. No. 2. P. 49-54.]
- Исаченко А.Г.* 2001. Экологическая география России. СПб.: Изд-во Санкт-Петербургского государственного университета. 328 с.
- Куст Г.С.* 2020. Современные глобальные вызовы проблемы деградации земель: международные подходы и пути адаптации на национальном уровне // Деградация земель и опустынивание: проблемы устойчивого природопользования и адаптации. М. С. 11-17.
- Куст Г.С., Андреева О.В., Шкляева Д.С., Лобковский В.А.* 2022. О возможностях достижения нейтрального баланса деградации земель в странах Каспийского региона (на примере России, Казахстана, Туркменистана) // Изменение климата в регионе Каспийского моря. Материалы Международной научной конференции. Астрахань. С. 256-258.
- Лавров С.А.* 2019. Закономерности формирования испарения с поверхности суши и воды под влиянием климатических изменений // Водное хозяйство России. № 1. С. 4-23.
- Лобковский В.А., Андреева О.В., Куст Г.С.* 2022. Интеграция международной и национальной систем мониторинга и оценки деградации земель в России // Известия Российской академии наук. Серия географическая. Т. 86. № 1. С. 9-27.
- Национальный доклад «Глобальный климат и почвенный покров России: опустынивание и деградация земель, институциональные, инфраструктурные, технологические меры адаптации (сельское и лесное хозяйство)» 2019 / Ред. Р.С.-Х. Эдельгериева. М.: Почвенный институт им. В.В. Докучаева, Институт географии РАН, МБА. Т. 2. 476 с.
- Национальный доклад «Глобальный климат и почвенный покров России: опустынивание и деградация земель, институциональные, инфраструктурные, технологические меры адаптации (сельское и лесное хозяйство)» 2021 / Ред. Р.С.-Х. Эдельгериева. М. Т. 3. 700 с.
- Новикова Н.М., Волкова Н.А., Уланова С.С., Шаповалова И.В., Вышивкин А.А.* 2011. Ответные реакции экосистем на изменение водного режима территорий в степной зоне // Аридные экосистемы. Т. 17. № 3 (48). С. 38-48. [Novikova N.M., Volkova N.A., Ulanova S.S., Shapovalova I.B., Vyshivkin A.A. 2011. Ecosystem responses to hydrological regime changes in the steppe zone // Arid Ecosystems. Vol. 1. No. 3. P. 142-148.]
- Павлова В.Н., Сиротенко О.Д.* 2012. Наблюдаемые изменения климата и динамика продуктивности сельского хозяйства России // Труды ГГО. Вып. 565. С. 132-151.
- Полуэктов Р.А., Смоляр Э.И., Терлеев В.В., Топаж А.Г.* 2006. Модели производственного процесса сельскохозяйственных культур. Спб.: Изд-во Санкт-Петербургского государственного университета. 396 с.
- Роде А.А.* 1965. Основы учения о почвенной влаге. Ленинград. 664 с.
- Сажин А.Н., Петров С.А., Погосян Н.В., Васильев Ю.И., Волошенкова Т.В., Козина О.В., Моников С.Н.* 2006. Связь внутривековых изменений увлажнения со сменой циркуляционных эпох и ее отражение в природных процессах Атлантико-Европейского сектора Евразии // Известия РАН. Серия географическая. № 1. С. 26-34.
- Титкова Т.Б., Золотокрылин А.Н.* 2022. Летние климатические изменения на юге Европейской России // Фундаментальная и прикладная климатология. Т. 8. № 1. С. 107-121.
- Черенкова Е.А.* 2017. Сезонные осадки на территории Восточно-Европейской равнины в периоды теплых и холодных аномалий температуры поверхности Северной Атлантики // Известия РАН. Серия географическая. № 5. С. 72-81.
- Черенкова Е.А., Бардин М.Ю., Платова Т.В., Семенов В.А.* 2020. Влияние долгопериодной изменчивости температуры поверхности океана в Северной Атлантике и изменений атмосферной циркуляции на повторяемость сильных атмосферных засух летом на юге Восточно-Европейской равнины // Метеорология и гидрология. № 12. С. 5-19.
- Allen R.G., Pereira L.S., Raes D., Smith M.* 1998. Crop Evapotranspiration (FAO 56). Rome: FAO. 300 p.
- Amatya D.M., Irmak S., Gowda P., Sun G., Nettles J.E., Douglas-Mankin K.R.* 2016. Ecosystem Evapotranspiration: Challenges in Measurements, Estimates, and Modeling // Transactions of the ASABE. No. 59(2). P. 555-560.
- Copernicus. 2022. Climate Change Service [Электронный ресурс <https://climate.copernicus.eu> (дата обращения 07.12.2022)].
- Cowie A.L., Orr B.J., Castillo Sanchez V.M., Chasek P., Crossman N.D., Erlewein A., Louwagie G., Maron M., Metternicht G.I., Minelli S., Tengberg A.E., Walter S., Welton S.* 2018. Land in Balance: The Scientific Conceptual Framework for Land Degradation Neutrality // Environmental Science & Policy. No. 79. P. 25-35.
- Gleam. 2022 [Электронный ресурс <https://www.gleam.eu/> (дата обращения 07.12.2022)].
- Gruber A., Scanlon T., van der Schalie R., Wagner W., Dorigo W.* 2019. Evolution of the ESA CCI Soil Moisture Climate Data Records and Their Underlying Merging Methodology // Earth System Science Data. No. 11. P. 717-739.
- Martens B., Miralles D.G., Lievens H., van der Schalie R., de Jeu R.A.M., Fernández-Prieto D., Beck H.E., Dorigo W.A., Verhoest N.E.C.* 2017. GLEAM v3: Satellite-based Land Evaporation and Root-zone Soil Moisture //

- Geoscientific Model Development. No. 10. P. 1903-1925.
- Singh R.P., Roy S., Kogan F. 2003. Vegetation and Temperature Condition Indices from NOAA AVHRR Data for Drought Monitoring over India // International Journal of Remote Sensing. No. 24. P. 4393-4402.
- Wang X., Wu C., Peng D., Gonsamo A., Liu Z. 2018. Snow Cover Phenology Affects Alpine Vegetation Growth Dynamics on the Tibetan Plateau: Satellite Observed Evidence, Impacts of Different Biomes, and Climate Drivers // Agricultural and Forest Meteorology. No. 256. P. 61-74.
- Wohlfahrt G., Ischick C., Thalinger B., Hörtnagl L., Hammerle A. 2010. Insights from Independent Evapotranspiration Estimates for Closing the Energy Balance – A grassland Study // Vadose Zone Journal. No. 9 (4). P. 1025-1033.
- Wu M., Schurgers G., Rummukainen M., Smith, B., Samuelsson P., Jansson C., Siltberg J., May W. 2016. Vegetation–Climate Feedbacks Modulate Rainfall Patterns in Africa under Future Climate Change // Earth System Dynamics. No. 7. P. 627-647.
- Zvereva I.I., Arkhipkin A.V. 2019. Leading Modes of Interannual Soil Moisture Variability in European Russia and Their Relation to Regional Climate during the Summer Season // Climate Dynamics. No. 53. P. 3007-3022.